

QGP 中的热胶子质量和 $J/\psi, \psi'$ 的分解*

高嵩 刘波 赵维勤

(中国科学院高能物理研究所 北京 100039)

1996-02-02 收稿

摘 要

用热场动力学方法, 计算了有限温度和有限密度下胶子的有效质量和屏蔽质量, 并得到了 $J/\psi, \psi'$ 分解所需的临界温度和临界密度.

关键词 色屏蔽, 热场动力学, 夸克胶子等离子体.

1 引 言

相对论重离子碰撞的主要目的之一就是寻找夸克胶子等离子体(QGP)并研究其性质. QCD 预言, 在高温高密度条件下, 有可能发生从强子物质到夸克胶子等离子体的相变, 因此找到和辨认 QGP 形成的信号是非常重要的. J/ψ 压低是 QGP 形成的可能信号之一.

Matsui 和 Satz 首先指出^[1], 由于 QGP 中的色屏蔽效应, 将导致核碰撞中 J/ψ 产额的压低. 在理论预言之后, 实验上^[2]就观察到了核碰撞中的 J/ψ 压低现象. Matsui^[3]还用非相对论夸克势模型, 分析了有限温度下 J/ψ 分解的条件. 考虑有限温度下胶子的色屏蔽效应, 对于 $SU(N)$ 规范场和夸克的味数为 N_f 时, 有限温度 QCD 给出 Debye 屏蔽质量为:

$$M_{scr}^2 = \frac{1}{3} \left(N + \frac{1}{2} N_f \right) g^2 T^2. \quad (1)$$

在有限温度 QCD 中, 不考虑动力学夸克的贡献时, 有限温度时胶子的屏蔽质量和胶子场的集体激发性质已广泛研究^[4,5], 但对于有限重子密度的情况未作详细研究. 我们的目的是考虑有质量的轻夸克存在时, 在有限温度和有限密度的 QGP 中, 胶子的有效质量和 Debye 屏蔽质量, 以及对 J/ψ 和 ψ' 分解的影响.

本文中, 我们用热场动力学方法, 通过计算有限温度和密度下的单圈胶子自能, 分别得到胶子的有效质量和 Debye 屏蔽质量随温度和密度的变化关系. 在夸克势模型的基础上, 得到了在 QGP 环境中 J/ψ 和 ψ' 分解所需要的临界温度和临界密度.

* 国家自然科学基金资助.

2 有限温度和有限密度 QGP 中胶子的有效质量和屏蔽质量

在高温高密度的夸克胶子等离子体中, 由于夸克和胶子的相互作用弱, 可以用微扰 QCD 来处理. 在有限温度和有限密度下, 胶子自能对胶子传播子 $D^{\mu\nu}(q)$ 将给予修正, 规范不变性使 $q_\mu D^{\mu\nu}(q) = 0$, 相应的胶子自能可以分解成横向部分和纵向部分, 胶子自能的一般表达式可写成^[6,7]

$$\Pi^{\mu\nu} = \Pi_L P_L^{\mu\nu} + \Pi_T P_T^{\mu\nu}, \quad (2)$$

这里 Π_L 和 Π_T 分别表示胶子自能的纵向分量和横向分量,

$$\begin{aligned} \Pi_L &= -\frac{q^2}{q^2} u_\mu u_\nu \Pi^{\mu\nu}, \\ \Pi_T &= \frac{1}{2} \left(\frac{q^2}{q^2} u_\mu u_\nu - g_{\mu\nu} \right) \Pi^{\mu\nu}, \end{aligned} \quad (3)$$

u_μ 是 QGP 背景的四维速度, 在 QGP 的静止坐标系中 $u_\mu = (1, \mathbf{0})$, $P_L^{\mu\nu}$ 和 $P_T^{\mu\nu}$ 是投影张量, 定义为:

$$\begin{aligned} P_T^{00} &= P_T^{0i} = P_T^{i0} = 0 \\ P_T^{ij} &= \delta^{ij} - q^i q^j / q^2 \\ P_T^{\mu\nu} + P_L^{\mu\nu} &= g^{\mu\nu} - q^\mu q^\nu / q^2. \end{aligned} \quad (4)$$

这样, 在有限温度和有限密度条件下, 胶子的传播子可以表示为:

$$D^{\mu\nu}(q) = -\frac{P_L^{\mu\nu}}{q^2 - \Pi_L} - \frac{P_T^{\mu\nu}}{q^2 - \Pi_T} + (\xi - 1) \frac{q^\mu q^\nu}{q^4}, \quad (5)$$

这里 ξ 是规范因子.

胶子的有效质量 (又称为动力学产生质量) 定义为在 $q^2 = 0$, $q_0 = |\mathbf{q}|$ 极限下胶子传播子 (5) 的极点位置, 由 (3) 式可知, 在这种极限下胶子的自能为^[6]:

$$\begin{aligned} \Pi_L(q_0, |\mathbf{q}|) &= \Pi_L(|\mathbf{q}|, |\mathbf{q}|) = 0, \\ \Pi_T(q_0, |\mathbf{q}|) &= \Pi_T(|\mathbf{q}|, |\mathbf{q}|) = -\frac{1}{2} \Pi_\mu^\mu(0). \end{aligned} \quad (6)$$

这时胶子的有效质量定义为:

$$M^{\text{dy}} = [\Pi_T(|\mathbf{q}|, |\mathbf{q}|)]^{1/2} = \left[-\frac{1}{2} \Pi_\mu^\mu(0) \right]^{1/2}. \quad (7)$$

另一方面, 在 $q_0 = 0$, $\mathbf{q} \rightarrow 0$ 极限下, 由 (3) 式可得胶子的自能为:

$$\begin{aligned} \Pi_L(0, \mathbf{q} \rightarrow 0) &= -\Pi_{00}(0, \mathbf{q} \rightarrow 0), \\ \Pi_T(0, \mathbf{q} \rightarrow 0) &= \frac{1}{2} [\Pi_{00}(0, \mathbf{q} \rightarrow 0) - \Pi_\mu^\mu(0, \mathbf{q} \rightarrow 0)]. \end{aligned} \quad (8)$$

由此可以分别给出胶子的纵屏蔽质量和横屏蔽质量为:

$$M_{\text{scr}}^L = [\Pi_L(0, \mathbf{q} \rightarrow 0)]^{1/2}, \quad (9)$$

$$M_{\text{scr}}^T = [\Pi_T(0, \mathbf{q} \rightarrow 0)]^{1/2}. \quad (10)$$

通常称(9)式为电屏蔽质量(Debye 屏蔽质量), (10)式为磁屏蔽质量.

下面, 用热场动力学的方法^[6-8]计算有限温度和有限密度下的胶子自能. 在热场动力学中, 每一个场有两个分量, 因此传播子就是 2×2 的矩阵形式, 例如费米场的费曼传播子为:

$$iS_F(k) = \begin{pmatrix} iS^{11}(k) & iS^{12}(k) \\ iS^{21}(k) & iS^{22}(k) \end{pmatrix}, \quad (11)$$

这里,

$$S^{11}(k) = (k+m) \left[\frac{1}{k^2 - m^2 + i\epsilon} + 2\pi i N_F(k) \delta(k^2 - m^2) \right] = -S^{22*}(k), \quad (12a)$$

$$S^{12}(k) = -e^{-\beta\mu/2} S^{21}(k). \quad (12b)$$

其中, $N_F(k) = \theta(k_0) n_F(k) + \theta(-k_0) \bar{n}_F(k)$, $\theta(k_0)$ 是阶梯函数, $n_F(k)$ 和 $\bar{n}_F(k)$ 分别是费米子及其反粒子的分布函数:

$$n_F(k) = \frac{1}{e^{\beta(|k_0| - \mu)} + 1},$$

$$\bar{n}_F(k) = \frac{1}{e^{\beta(|k_0| + \mu)} + 1}. \quad (13)$$

这里 β 是温度 T 的倒数, $\beta = 1/T$, μ 为费米子的化学势. 对于玻色场, 费曼传播子有类似的矩阵形式, 在热场动力学中, 可以证明, 单圈胶子自能的实部由 11 分量的费曼传播子决定^[6-8], 这样, 如图 1 所示的胶子自能在费曼规范下则为:

$$\begin{aligned} \Pi^{\mu\nu}(q) = & -\frac{i}{2} g^2 N_f \int \frac{d^4k}{(2\pi)^4} \text{Tr} [\gamma^\mu S^{11}(k) \gamma^\nu S^{11}(k+q)] \\ & + 3i g^2 N g^{\mu\nu} \int \frac{d^4k}{(2\pi)^4} \Delta^{11}(k) - \frac{i}{2} g^2 N \int \frac{d^4k}{(2\pi)^4} T^{\mu\nu} \Delta^{11}(k) \Delta^{11}(k+q) \\ & + i g^2 N \int \frac{d^4k}{(2\pi)^4} (k+q)^\mu \Delta^{11}(k) k^\nu \Delta^{11}(k+q), \end{aligned} \quad (14)$$

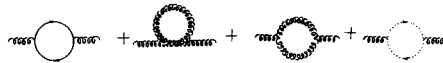


图 1 胶子自能的费曼图

实线表示夸克, 螺旋线和点线分别表示胶子和鬼场.

其中, $T^{\mu\nu} = -g^{\mu\nu} (5q^2 + 2k \cdot q + 2k^2) + 2q^\mu q^\nu - 5q^\mu k^\nu - 5k^\mu q^\nu - 10k^\mu k^\nu$. 对于无质量的玻色场, 11 分量的传播子 $\Delta^{11}(k)$ 为:

$$\Delta^{11}(k) = \frac{1}{k^2 + i\epsilon} - 2\pi i \delta(k^2) n_B(k). \quad (15)$$

这里 $n_B(k)$ 为玻色子分布函数, 对胶子场(15)式前有一个因子 $\left[-g_{\mu\nu} + \frac{1-\xi}{\xi} k_\mu k_\nu \frac{\partial}{\partial k^2} \right]$, 对鬼场, 该因子则为 -1 .

为了考虑有限密度效应, 引入有质量的动力学夸克, 夸克的化学势 μ 和重子数密度 ρ 之间满足以下关系:

$$\rho = \frac{\gamma}{3} \int \frac{d^3k}{(2\pi)^3} [n_F(k) - \bar{n}_F(k)], \quad (16)$$

这里简并因子 $\gamma = \text{色} \times \text{自旋} \times \text{味}$. 在计算中, 取夸克的质量 $m_q = 10\text{MeV}$, 对于给定的不同重子数密度 ρ , 可以求出夸克化学势随温度的变化曲线如图 2 所示, 让 $\rho = c_x \rho_0$, $\rho_0 = 0.17\text{fm}^{-3}$ 是核物质饱和密度. 图中的数字 $1/3, 1, 3, 6, 9$ 表示的是 c_x 值. 从图 2 中可以看出, 对一个固定的重子密度 ρ , 夸克化学势随温度的上升而下降.

根据热场动力学中的费曼规则, (14) 式所表示的胶子自能, 可以分成真空部分(温度和密度为零)以及有限温度和有限密度部分, 真空部分可归结到自能的重整化中去, 由(12) — (15) 式, 有限温度和有限密度部分的胶子自能为:

$$\begin{aligned} \Pi^{\mu\nu}(q, T, \rho) = & \frac{1}{2} g^2 N_f \int \frac{d^4k}{(2\pi)^3} \tau^{\mu\nu} \left\{ \frac{\delta(k^2 - m_q^2)}{(k+q)^2 - m_q^2} N_F(k) + \frac{\delta[(k+q)^2 - m_q^2]}{k^2 - m_q^2} N_F(k+q) \right\} \\ & - \frac{1}{2} g^2 N \int \frac{d^4k}{(2\pi)^3} T^{\mu\nu} \left\{ \frac{\delta(k^2)}{(k+q)^2} n_B(k) + \frac{\delta[(k+q)^2]}{k^2} n_B(k+q) \right\} \\ & - g^2 N \int \frac{d^4k}{(2\pi)^3} (k+q)^\mu k^\nu \left\{ \frac{\delta(k^2)}{(k+q)^2} n_B(k) + \frac{\delta[(k+q)^2]}{k^2} n_B(k+q) \right\} \\ & - 3g^2 N g^{\mu\nu} \int \frac{d^4k}{(2\pi)^3} \delta(k^2) n_B(k), \end{aligned} \quad (17)$$

这里, $\tau^{\mu\nu} = \text{Tr}[\gamma^\mu (\not{k} + m_q) \gamma^\nu (\not{k} + \not{q} + m_q)]$. 在 $q^2 = 0$, $q_0 = |\mathbf{q}|$ 极限下, 由(17)式可得:

$$\Pi_\mu^\mu(0, T, \rho) = -\frac{g^2}{\pi^2} N_f I_F - \frac{1}{3} g^2 N T^2. \quad (18)$$

其中 I_F 是含有分布函数的有限积分,

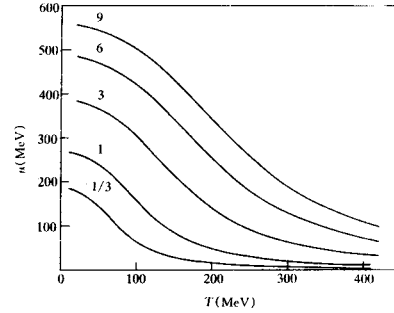


图 2 给定密度时, 夸克化学势随温度的变化曲线

图中数字 $1/3, 1, 3, 6, 9$ 表示不同的密度.

$$\begin{aligned}
 I_F &= \int \frac{d|\mathbf{k}| |\mathbf{k}|^2}{\sqrt{|\mathbf{k}|^2 + m_q^2}} [n_F(k) + \bar{n}_F(k)] \\
 &= \int_0^\infty \frac{x^2 dx}{\sqrt{x^2 + m_q^2}} \left\{ \frac{1}{\exp[(\sqrt{x^2 + m_q^2} - \mu)/T] + 1} + \frac{1}{\exp[(\sqrt{x^2 + m_q^2} + \mu)/T] + 1} \right\}.
 \end{aligned} \tag{19}$$

这样, 由(7)式可得, 在 QGP 中胶子的有效质量(动力学产生质量)为:

$$M^{\text{dy}} = \left(\frac{1}{6} g^2 N T^2 + \frac{g^2}{2\pi^2} N_f I_F \right)^{1/2}. \tag{20}$$

在 $\mu=0, m_q=0$ 条件下, 则和已求得的结果^[6]一致. 在零温有限密度近似下, $n_F(k) = \theta(k_F - k), \bar{n}_F(k) = 0$, 这里 k_F 是费米动量, (20)式则变成:

$$M^{\text{dy}} = \left(\frac{g^2}{2\pi^2} N_f \int_0^{k_F} \frac{dx x^2}{\sqrt{x^2 + m_q^2}} \right)^{1/2}. \tag{21}$$

由(16)式可知, $k_F = \left(\frac{18\pi^2}{\gamma} \rho \right)^{1/3}$.

另一方面, 在固定红外极限 $q_0=0, \mathbf{q} \rightarrow 0$ 下, 由(17)式可得:

$$\Pi_{00}(0, \mathbf{q}; T, \rho) = -\frac{1}{\pi^2} N_f g^2 I_F - \frac{1}{3} N g^2 T^2. \tag{22}$$

由(9)式可得, 电屏蔽质量(Debye 屏蔽质量)为:

$$M_{\text{scr}} = \left(\frac{1}{3} g^2 N T^2 + \frac{g^2}{\pi^2} N_f I_F \right)^{1/2}. \tag{23}$$

比较(20)式和(23)式可见: $M_{\text{scr}} = \sqrt{2} M^{\text{dy}}$. 在数值计算中, 取 QCD 耦合常数^[3] $\alpha = g^2/4\pi = 0.39$, 分别得到 Debye 屏蔽质量在不同密度时随温度的变化关系和不同温度时随密度的变化关系

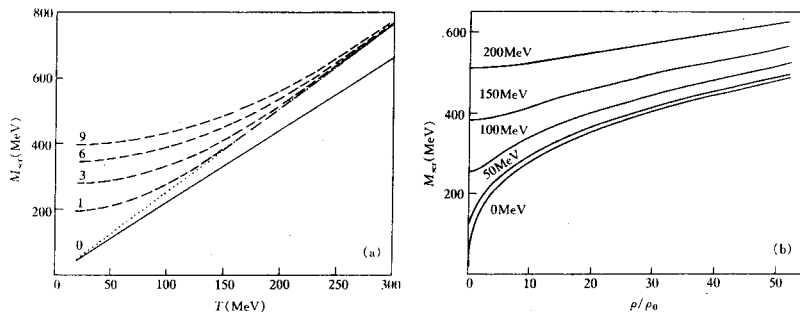


图 3(a) 不同密度时 Debye 屏蔽质量随温度的变化曲线
 (b) 不同温度时 Debye 屏蔽质量随密度的变化曲线

度的变化关系, 如图 3(a)、(b) 所示(这里取 $N_f=2$). 图 3(a) 中, 实线是 $N_f=0$ 时的结果, 图中数字 0, 1, 3, 6, 9 表示 c_s 值. 从图 3(a) 可以看出, 对不同的重子密度, Debye 屏蔽质量随温度的上升而增大, 在低温度区, 不同密度时的屏蔽质量差别较大, 而在高温度区, 这种差别变得很小, 说明在高温区, 屏蔽质量对密度不敏感. 从图 3(b) 表示的不同温度时 Debye 屏蔽质量随密度的变化曲线显示, 密度增大时, Debye 屏蔽质量增加, 低温度区, 变化较大, 而在高温度区, 变化较平缓, 这也说明高温时, 密度的效应不明显.

胶子的有效质量 M^g 随温度和密度的变化与 Debye 屏蔽质量的行为一致.

磁屏蔽质量也可以类似地求出, 由于侧重于研究 $J/\psi, \psi'$ 在 QGP 中的分解, 这里只讨论 Debye 屏蔽质量与温度和重子密度的关系.

3 QGP 中 J/ψ 和 ψ' 分解的临界温度和临界密度

在非相对论夸克势模型中, 粲偶素描述为 $c\bar{c}$ 的束缚态, 在零温零密度时, $c\bar{c}$ 间的束缚势是由一个单胶子交换势加上一个线性禁闭势组成:

$$V(r, 0) = -\frac{\alpha}{r} + \sigma r, \quad (24)$$

这里 α 是 QCD 的耦合常数, σ 是弦张量系数. 当 $c\bar{c}$ 处在 QGP 环境中时, 由于介质的屏蔽效应, $c\bar{c}$ 之间的相互作用势将变成 Debye 屏蔽势,

$$V(r, r_D(T)) = \frac{\alpha}{r} e^{-r/r_D(T)}, \quad (25)$$

其中 r_D 是 Debye 屏蔽长度, 它的倒数是 Debye 屏蔽质量, $m_D = 1/r_D$.

为了研究有限温度中重味夸克偶素的形成与分解, Karsch, Mehr 和 Satz^[4] 提出了一个唯象的夸克势:

$$V(r, m_D(T)) = \sigma r_D(T)(1 - e^{-r/m_D(T)}) - \frac{\alpha}{r} e^{-r/m_D(T)}. \quad (26)$$

他们用非相对论近似, 通过求解薛定谔方程, 给出了重味夸克束缚态分解时相应的 Debye 屏蔽质量 M_c 和屏蔽长度 r_D . 我们用相同近似, 重现了他们的结果, 对于 J/ψ , $M_c = 700$ MeV; 对于 ψ' , $M_c = 360$ MeV. 正如文献 [4] 所述, 对于 $c\bar{c}$ 束缚态, $M_c = 700$ MeV 对应的 J/ψ 的半径为无穷大, 这就是说 $M_c = 700$ MeV 是 J/ψ 分解的最大极限值. 同时 Satz 等人还指出, 当 $M_c \geq 500$ MeV 时, 就不可能有 $c\bar{c}$ 束缚态存在. 由 (21) 式和图 3 可以看出, Debye 屏蔽质量是温度和密度的函数, 因此, 由 (21) 式可以求出 Debye 屏蔽质量的临界值 M_c 所对应的临界温度 T_c 和

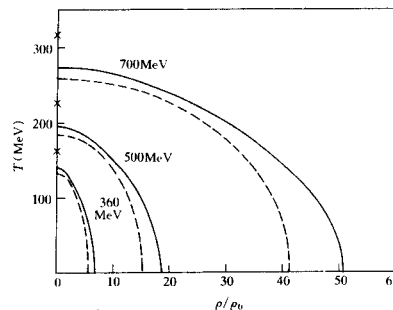


图 4 J/ψ 和 ψ' 分解时的临界温度与临界密度的关系
实线是 $N_f=2$ 的结果, 虚线是 $N_f=3$ 的结果.

临界密度 ρ_c , 计算结果如图 4 所示. 图 4 中实线是 $N_f=2$ 的结果, 虚线是 $N_f=3$ 的结果. 在 T 轴上的“ \times ”是 $N_f=0$ 时(无密度效应)的结果, 从图 4 上可以看出, 它们要比相应的 $N_f \neq 0$ 时的临界温度高.

图 4 所示的结果显示, 对于 $M_c=700\text{MeV}$, 相应的临界温度和临界密度都偏大, 说明由相互作用势(24)所给出的 J/ψ 分解时所需的 Debye 屏蔽质量太大. 对于 $M_c=500\text{MeV}$, 零密度时的临界温度约为 200MeV , 和格点 QCD 给出的结果^[10]是一致的. 在低温区, 相应的临界密度偏大, 这是因为, 在 QGP 环境中的低温区, 胶子对 Debye 屏蔽质量的贡献非常小, 主要贡献是夸克. 但在高温区, 夸克和胶子对 Debye 屏蔽质量都有贡献, 因此, 在高温区, 色屏蔽效应是主要的.

4 结 论

研究了在 QGP 环境中, 温度和重子密度对 Debye 屏蔽质量的影响, 根据夸克势模型和热场动力学, 计算了 J/ψ 和 ψ' 分解时所需的临界温度和临界密度. 研究表明, 在 QGP 环境中的高温区, 色屏蔽效应是显著的.

总之, 在相对论重离子碰撞中, 如果 J/ψ 压低主要是由色屏蔽引起的话, 我们的计算表明, J/ψ 压低可能出现在高温和低重子密度的中心区.

感谢姜焕清同志的有益讨论.

参 考 文 献

- [1] T. Matsui, H. Satz, *Phys. Lett.*, **B178**(1986)416.
- [2] M. C. Abreu *et al.* (NA38 Collab.), *Z. Phys.*, **C38**(1988)117; C. Baglin *et al.* (WA38 Collab.), *Phys. Lett.*, **220**(1989)471; **255**(1991)459; *Nucl. Phys.*, **A544**(1992)209c.
- [3] T. Matsui, *Z. Phys.*, **C38**(1988)245.
- [4] J. Kapusta, *Nucl. Phys.*, **B148**(1979)461; K. Kajantie, J. Kapusta, *Ann. Phys.*, **160**(1985)477.
- [5] O. K. Kalashnikov, *Fortschr. Phys.*, **32**(1984)525.
- [6] N. P. Landsman, Ch. G. van Weert, *Phys. Rep.*, **145**(1987)141.
- [7] S. Gao, Y. J. Zhang, R. K. Su, *Phys. Rev.*, **C52**(1995)380.
- [8] R. L. Kobes, G. W. Semenoff, *Nucl. Phys.*, **B260**(1985)714.
- [9] F. Karsch, M. T. Mehr, H. Satz, *Z. Phys.*, **C37**(1988)617.
- [10] A. Ukawa, *Nucl. Phys.*, **A498**(1989) 227c.

Thermal Mass of the Gluon and the Dissociation of J/ψ and ψ' in QGP Environment

Gao Song Liu Bo Zhao Weiqin

(Institute of High Energy Physics, The Chinese Academy of Sciences, Beijing 100039)

Received 2 February 1996

Abstract

Using thermo-field dynamics method, we calculate the effective mass and Debye screening mass of the gluon at finite temperature and finite density. The critical temperature and density for the dissociation of J/ψ and ψ' are obtained.

Key words color screening, thermo-field dynamics, QGP.